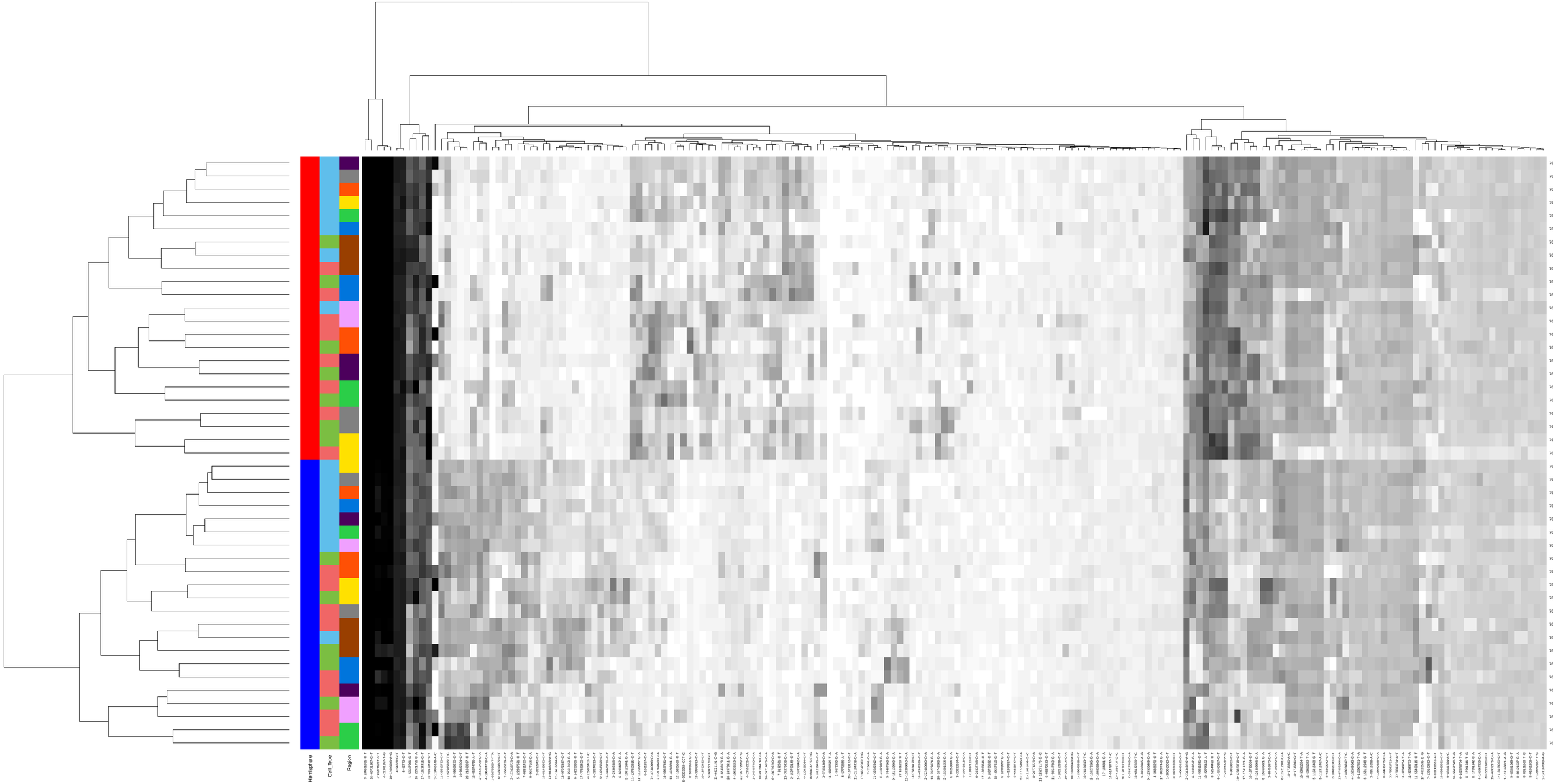
7669_R_mO_COUPTF2
7669_R_CCMid_COUPTF
7669_R_O_1_COUPTF2
7669_R_P_1_COUPTF2
7669_R_T_1_COUPTF2
7669_R_F_1_COUPTF2
7669_R_I_1_TBR1
7669_R_I_1_COUPTF2
7669_R_I_1_DLX1
7669_R_F_1_TBR1
7669_R_F_1_DLX1
7669_L_EC_COUPTF2
7669_L_EC_DLX1
7669_R_O_1_DLX1
7669_R_O_1_TBR1
7669_R_mO_DLX1
7669_R_mO_TBR1
7669_R_T_1_DLX1
7669_R_T_1_TBR1
7669_R_CCMid_DLX1
7669_R_CC_Mid_TBR1
7669_R_P_1_TBR1
7669_R_P_1_DLX1
7669_L_P_1_COUPTF2
7669_L_CC_2_COUPTF2
7669_L_O_1_COUPTF2
7669_L_F_1_COUPTF2
7669_L_mO_COUPTF2
7669_L_T_1_COUPTF2
7669_R_EC_COUPTF2
7669_L_O_1_TBR1
7669_L_O_1_DLX1
7669_L_P_1_DLX1
7669_L_P_1_TBR1
7669_L_CC_2_DLX1
7669_L_I_1_DLX1
7669_L_I_1_COUPTF2
7669_L_I_1_TBR1
7669_L_F_1_TBR1
7669_L_F_1_DLX1
7669_L_mO_DLX1
7669_R_EC_TBR1
7669_R_EC_DLX1
7669_L_T_1_DLX1
7669_L_T_1_TBR1
Hemisphere
Cell_Type
Region